

(討23)

固溶炭素と転位の相互作用について

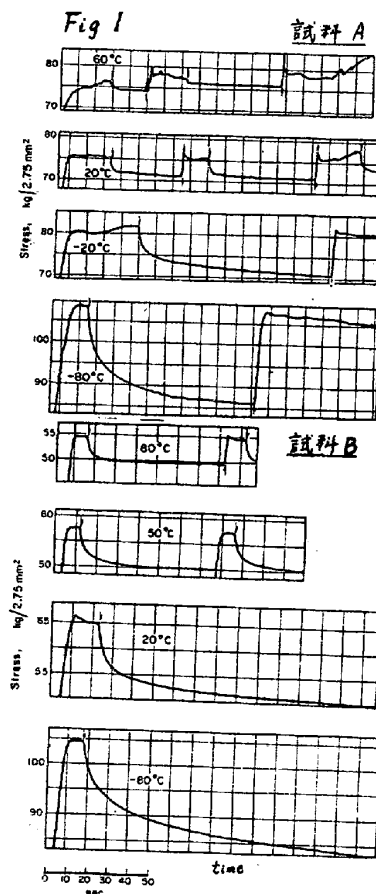
八幡製鉄 東京研究所

青木宏一〇三村宏

序：固溶炭素と転位の相互作用は最初 Cottrell により転位の固着理論として扱われた。其の後 Schoeck⁽¹⁾は Snoek 效果により転位に摩擦力が働くことを示した。最近鉄の変形機構に関連して変形応力の歪速度及温度依存性が調べられ、これが固溶炭素が存在するかと常温附近で Snoek 效果のため種々の異常性が見られ、説明が与えられた。これが充分とはいい難い。我々は固溶炭素量の異なる試料について応力緩和、及び変形応力の歪速度依存性の実験を行なった。その結果は Snoek 效果を考慮したモデルにより良く説明できることが判った。

実験結果：用いた試料は電解鉄を真空溶解したものでその組成は $C = 0.016\% \text{, } N = 0.0004 \text{, } Si = 0.032 \text{, } Mn \leq 0.01 \text{, } P = 0.004 \text{, } S = 0.004 \text{, } \dots$ である。

応力緩和⁽²⁾：試料寸法は $0.2 \times 12.5 \times 90 \text{ mm}^3$ 冷延後 $750^\circ\text{C} \times 2 \text{ hrs}$ 烧純し、A 試料はその温度から水冷、B 試料は 12 hrs かけて室温迄炉冷した。粒径は両試料共 0.02 mm である。固溶炭素量は内部摩擦測定結果では試料 A で 155 p.p.m. B は 0.5 p.p.m. 以下である。両試料共 Lüders 帯が現れる。Lüders 伸の途中で引張速度を零にして応力緩和させた結果を Fig. 1 図に示す。 -80°C では応力緩和の模様は両試料とも殆んど差はない。しかし -20°C 以上では A 試料では応力緩和量の著しい減少、応力緩和後再引張時に降伏負落下の出現が見られる⁽³⁾。応力と引張停止からの時間と両対数にプロットすると A 試料では 60°C 以下、B 試料では -20°C 以下で、ほぼ直線が得られる。応力緩和量の目安としてこの直線の勾配の逆数をとり温度に対してプロットしたのが Fig. 2 図である。尚図中に 400°C から水冷した試料 X と素材を脱炭後室温化し 200 p.p.m. の固溶室素を含む試料 N に就く結果も併示した。又降伏負落下量を試験機停止時間内の炭素原子飛躍数 J の函数としてプロットすると略 $J = 1$ 以上の所で降伏負落下が現れることが判る。これはまさしく Snoek 効果の特徴として期待される所である。すなわち応力緩和後転位は Snoek 效果により減速され、実効的に運動転位の数が減り従って応力緩和量も減少する。この効果は固溶炭素量、多ほど大である。又室素の場合には拡散係数が大きくなるより低温迄の効果が及んでくることが Fig. 2 図からうかがわれる。再引張の際に見られる降伏負落下は Snoek 効果から転位の脱出による激しい運動転位の増加

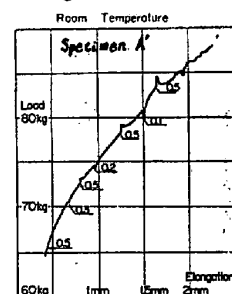
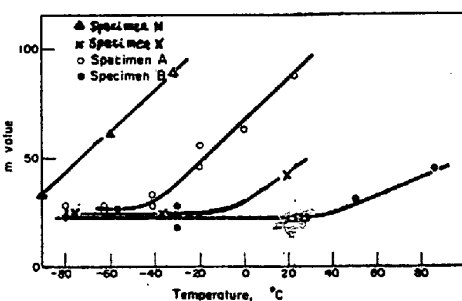


の結果である。

変形応力の歪速度依存性⁽¹⁾、試料は冷延再結晶後10%引張り 780°C × 2 hrs 烧鍛し水冷(A')又は炉冷(B')した。粒径約1mmで Lüders 带は出ない。B'試料は通常の歪速度変化の実験がみられるところとく、与えられた歪および歪速度に対応して変形応力が定まり変形応力は歪速度とともに一様に増加する。A'試料では -72°C では B'材と同様な挙動を示すが常温では全くなきその挙動は異なる。今 0.5 mm/min の引張速度(歪速度 $1.67 \times 10^{-4}/\text{sec}$)での変形応力を標準とし、この速度から他の速度に変えた際の応力変化を観察した。引張速度を 10 mm/min 以下の速度に切換えると新しい速度が標準速度より大きいか小さいかに従つて一時的に応力の上昇又は下降が見られるが其の後徐々に 0.5 mm/min の応力水準に復帰する。即ち定常状態では変形応力が歪速度によらなくなる。Fig. 3
引張速度を 20 mm/min 以上に上げた時は応力の一時的な上昇のうち 0.5 mm/min の応力水準より高い応力が変形する。引張速度を 0.1 mm/min 以下にすると応力の一時的な低下の後 0.5 mm/min の応力水準より高い変形応力を示す。その際荷重-伸曲線は鋸歯状を呈す。
0°C で試験した結果は常温での結果と略同様であるが各現象に対応する歪速度はより低歪速度側に移る。今は比較のために浸水素焼鍛によって固溶炭素量を 0.5 ppm 以下に下げた試料と B' 材を比較した所同一の歪速度変化に対応する変形応力変化は殆んど同じであった。

考察⁽⁴⁾: 転位に付く摩擦力は通常転位速度と共に單調に増加する結晶固有の摩擦力 $\sigma_f^{(1)}$ 及び、現在の場合は固溶炭素による Snecch 效果に基く項 σ_s が考えられる。転位の運動エネルギーの吸収機構が独立であると考えれば一応この二つの項は加算的であるとしてよろしい。Fig. 4 は模式的にこれを示した図である。
Fig. 4: Velocity of dislocation vs. frictional stress graph showing the relationship between velocity V_c , frictional stress σ_c , and the sum of frictional stresses $\sigma_c + \sigma_s$. The graph shows two regions: Region A (low stress) where velocity increases linearly with stress, and Region B (high stress) where velocity remains constant at V_{c1} . The transition occurs at stress $\sigma_c + \sigma_s$. The graph also shows the effect of stress concentration σ_c' on velocity.

Fig. 2



図中の矢印は試験機のクロスヘッドを示すたる数字 (mm/min) の速度に切換えて表します。試験棒 0.4×9 mm。

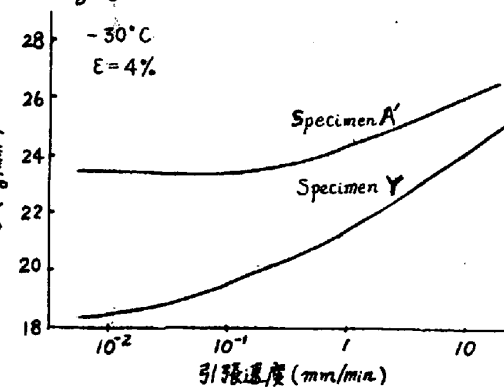
・過渡的な応力低下も次の様に説明できる。歪速度が下がられた時応力が同じ且つ可動軸位の数が同じであれば塑性変形が与えられた歪速度を上まわり応力緩和を生ずる。 \overline{DC} の枝の軸位が増殖せばなる(もしくは増殖率が減少率を下まわる)理由として交叉にリヤ軸位源の活動に余計の応力 σ_e を要しこのため軸位は一時減速され \overline{AB} の枝に落ちるにとどめられる。従って σ_e が $\sigma_c - \sigma'_c$ より小さい時は変形応力が歪速度によらず全くなるのは \overline{DC} の枝の軸位が増殖せばなる場合即ち応力が $\sigma_c + \sigma_e$ の時をとるべきであろう。いざれにせよ第4図で示したモデルによつて定性的には A'材の観察結果を良く説明できる。

つきにスネーク効果による摩擦力の特徴を挙げておこう。A材とB材の変形応力の差を比較すると低温程より差が少ない。これは第4図で低温程 σ_c が大きく且つ V_{C2} が低くなるので通常の引張速度ではその影響は減少する。若し固溶炭素による摩擦力が軸位の運動に対する障害のボテンシャルによるものとするならばこの傾向は遂になら筈である⁽¹²⁾。又スネーク効果による摩擦力は歪速度の大きさ所には効かない。第5図はその1例で -30°C 歪4%の変形応力の歪速度依存性で、A'材及び適当な温度から水冷して固溶C量40 p.p.m.とした試料Yについて示したものである。

最後に極く短い歪速度で見られた変形応力の增加はこのモデルの範囲内では説明できない。Sleeswyk⁽¹³⁾は実験的に変形の局所化を確かめてゐる。ミクロ的には第4図の \overline{AB} の枝の軸位が多いほど更に \overline{CD} の枝の軸位の運動・抵抗が大きくなることによる協同現象、擦合に起きていたとも推定できる⁽¹⁴⁾。

謝辞：本研究に當つて御指導頂いた岩井研究室
水島所長池上次長及び御協力頂いた岩井研究室の方々に厚くお礼申し上げる。

Fig. 5



文献

- (1) G. Schoeck and A. Seeger : Acta Met. 7 (1959) 649. J.D. Eshelby : Phil. Mag. 1 (1961) 753.
- (2) T. Sugai et al : Acta Met. 11 (1965) 1094
- (3) H. Yada et al : J. Phys. Soc. Japan 30 (1965) 2314
- (4) H. Mimura et al : J. Phys. Soc. Japan 31 (1966) 194
- (5) G.T. Hahn et al : Acta Met. 10 747 (1962)
- (6) A.W. Sleeswyk : Acta Met. 8 (1960) 130
- (7) R.J. Arsenault : Phil. Mag. 13 (1968) 31
- (8) F. Felberbauer et al : Trans. Met. Soc. A.I.M.E. 230 (1964) 1596
- (9) 同様に Wilson : Wilson 等 1959 2185-2203. D.V. Wilson : Acta Met. 7 (1959) 628
- (10) J.J. Gilman and W.G. Johnston : Solid State Physics 13 (1962) 147
- (11) 同様の効果は Lüders 带の変形応力に及ぼす影響である : H. Mimura, et al : J. Phys. Soc. Japan. 21 (1966) 1012.
- (12) 199213: 鈴木秀次 : 鉄と鋼 第50年(1964)第14号 2353. E見よ。